

矿层开采后的地面沉陷和应力分析

郭惟嘉 刘立民

(山东矿业学院特殊开采研究所, 泰安, 271019)

施德芳 曹志远

(同济大学工程力学所, 上海, 200092)

文 摘 本文交替使用半解析法中的有限层单元和三棱柱单元, 给出了矿层开采后的地面沉陷及应力分析的计算方法、公式和结果。

关键词 半解析法, 地面沉陷, 应力分析, 有限层单元, 三棱柱单元。

1 前 言

有限元法采用物理上离散与分片多项式插值, 虽具有广泛的适应性, 但对矿层开采后引起的地面沉陷和围岩附加应力的三维分析问题, 其计算工作量和计算费用是非常大的, 且普通微机无法实施该项计算。这大大制约了矿山开采沉陷和附加应力分析问题的深入研究。本文所提出的用半解析方法^[1,2]进行矿山开采沉陷及围岩应力的三维分析, 既克服了纯解析的理论分析在数学上的困难及应用上的局限性, 又大大降低了基于全离散原理的纯数值方法(有限元、有限差分法等)的计算工作量、计算费用及对计算机内存和速度的要求, 兼备了两者之间的优点, 具有广泛的实用性。

2 计算模型

研究对象的剖面及单元分割如图 1 所示, 上部表土为水平层 A, 可视为横观各向同性材料, 其下是呈三角状的倾斜块 B, 最下面是包括开挖在内的呈倾斜状的各岩层 C。

在计算中, 对 A 和 C 两部分采用二维解析的层单元, 其中 A 部分的局部坐标与整体坐标相重合, C 部分的局部坐标与整体坐标有一倾角 α , 在局部坐标系下二者的计算公式有相同的形式, 如果层内开挖孔洞, 只需积分时剔除其作用。典型的层单元示于图 2。

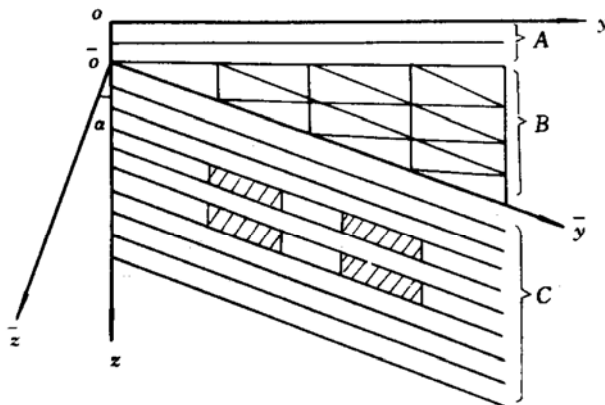


图 1 计算模型剖面分割图

* 煤炭自然科学基金资助项目, 煤炭高校优秀青年基金项目。
到稿日期: 1994-04-12.

对三角状的倾斜块 B,再采用自动分割将其离散成许多一维解析的三棱柱单元(见图 1),典型的三棱柱单元示于图 3。

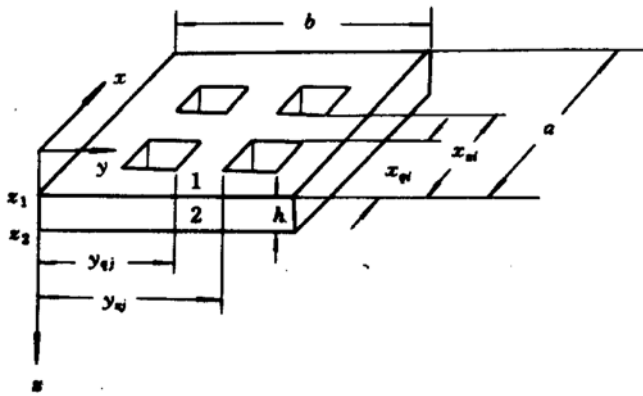


图2 典型层单元

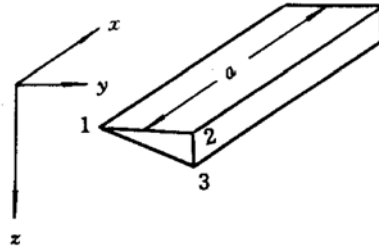


图3 典型柱单元

计算中,左、右、前、后和底部边界均采用固支边界,上部为自由边界。开挖部分的厚度应取矿层实际采厚与冒落高度之和,并将其视为一种弹性介质。为了确保单元之间位移的连续性,所用位移模式满足相容性。

3 计算公式

3.1 位移模式

(1)层单元

$$\{f\} = \begin{Bmatrix} u \\ v \\ w \end{Bmatrix} = \sum_{m=1}^p \sum_{n=1}^q [N]_m [N_{yz}] \{\delta\}_{mn} \quad (1)$$

其中

$$[N]_m = \begin{bmatrix} \cos \frac{m\pi x}{a} & 0 & 0 \\ 0 & \sin \frac{m\pi x}{a} & 0 \\ 0 & 0 & \sin \frac{m\pi x}{a} \end{bmatrix} \quad (2)$$

$$[N_{yz}] = \begin{bmatrix} \frac{z_2 - z}{h} [N]_n & \frac{z - z_1}{h} [N]_n \end{bmatrix} \quad (3)$$

$$\{\delta\}_{mn}^T = \{u_1 \quad v_1 \quad w_1 \quad u_2 \quad v_2 \quad w_2\}^T \quad (4)$$

并有

$$[N]_n = \begin{bmatrix} \sin \frac{n\pi y}{b} & 0 & 0 \\ 0 & \cos \frac{n\pi y}{b} & 0 \\ 0 & 0 & \sin \frac{n\pi y}{b} \end{bmatrix} \quad (5)$$

(2)棱柱单元

$$\{f\} = \begin{Bmatrix} u \\ v \\ w \end{Bmatrix} = \sum_{m=1}^p [N]_m [N_{yz}] \{\delta\}_m \quad (6)$$

其中 $[N_{yz}]$ 为

$$[N_{yz}] = [L_1[I] \quad L_2[I] \quad L_3[I]] \quad (7)$$

这里 L_1, L_2, L_3 为三角形内的面积坐标; $[I]$ 为三阶单位矩阵, 同时有

$$[\delta]_m^T = \{u_1 \quad v_1 \quad w_1 \quad u_2 \quad v_2 \quad w_2 \quad u_3 \quad v_3 \quad w_3\}^T \quad (8)$$

3.2 单元刚度矩阵

将上述位移模式代入应变表达式

$$\{\epsilon\}^T = \left\{ \frac{\partial u}{\partial x} \frac{\partial v}{\partial y} \frac{\partial w}{\partial z} \frac{\partial u}{\partial y} + \frac{\partial v}{\partial x} \frac{\partial v}{\partial z} + \frac{\partial w}{\partial y} \frac{\partial w}{\partial x} + \frac{\partial u}{\partial z} \right\}^T \quad (9)$$

即可得到应变矩阵 $[B]$, 完成应变矩阵 $[B]$ 与弹性矩阵 $[D]$ 的相乘和积分, 就得到了该模式的单元刚度矩阵。

(1) 层单元

$$\{\epsilon\} = \sum_{m=1}^p \sum_{n=1}^q [B]_{mn} \{\delta\}_{mn} \quad (10)$$

刚度子阵

$$[K]_{mn,kl} = \int_{z_1}^{z_2} \sum_{j=1}^{jy} \int_{y_{qj}}^{y_{sj}} \sum_{i=1}^{ix} \int_{x_{qi}}^{x_{si}} [B]_{mn}^T [D] [B]_{kl} dx dy dz \quad (11)$$

其中 6 阶矩阵 $[D]$ 是横观各向同性或各向同性材料的弹性矩阵, 可以从有关书籍中查得。 i_x 为 x 向积分段数, i_y 为 y 向积分段数, 从而保证了开挖孔影响的剔除, 但当考虑坍塌冒落时, 开挖部分也应作为一个积分段, 只是它的 $[D]$ 值与其它段不同。

(2) 棱柱单元

$$\{\epsilon\} = \sum_{m=1}^p [B]_m \{\delta\}_m \quad (12)$$

$$[K]_{m,k} = \iiint_v [B]_m^T [D] [B]_k dx dy dz \quad (13)$$

3.3 单元荷载列阵

只考虑由重力而产生的体积力, 设材料容重为 γ , 有

$$\{F\}_{mn} = \int_{z_1}^{z_2} \sum_{j=1}^{jy} \int_{y_{qj}}^{y_{sj}} \sum_{i=1}^{ix} \int_{x_{qi}}^{x_{si}} [N_{yz}]^T [N]_m^T \begin{Bmatrix} 0 \\ 0 \\ \gamma \end{Bmatrix} dx dy dz \quad (\text{层单元}) \quad (14)$$

$$\{F\} = \iiint_v [N_{yz}]^T [N]_m^T \begin{Bmatrix} 0 \\ 0 \\ \gamma \end{Bmatrix} dx dy dz \quad (\text{棱柱单元}) \quad (15)$$

3.4 三角块的处理

如前所述, 三角块被自动离散成许多三棱柱单元, 从而增加了整体自由度, 为了不使棱柱的广义位移出现在整体自由度中, 需对三角块作如下处理。

(1) 内部自由度的凝聚

首先用划行划列使左右边界上的节线满足同层单元一致的边界条件 $u=0, w=0$ 。然后再凝聚掉除上边界(最后一个水平层单元的下边界)和下边界(第一个斜层单元的上边界)之外的所有节线的广义自由度, 即从方程

$$\begin{bmatrix} \mathbf{K}_{11}^* & \mathbf{K}_{12}^* \\ \mathbf{K}_{21}^* & \mathbf{K}_{22}^* \end{bmatrix}_{m,k} \begin{Bmatrix} \boldsymbol{\delta}_1^* \\ \boldsymbol{\delta}_2^* \end{Bmatrix}_m = \begin{Bmatrix} \mathbf{f}_1^* \\ \mathbf{f}_2^* \end{Bmatrix}_m \quad (16)$$

中消去内部自由度 $\{\boldsymbol{\delta}_2^*\}_m$, 从而使三角块的出口方程变为

$$\{\mathbf{K}_{11}^{**}\}_{m,k} \{\boldsymbol{\delta}_1^*\}_m = \{\mathbf{f}_1^{**}\}_m \quad (17)$$

式中 $\{\boldsymbol{\delta}_1^*\}_m$ 中只包含上、下边界节线的广义位移。

(2) 向层单元的转换

虽然经过了凝聚处理, 但式(17)中的 $\{\boldsymbol{\delta}_1^*\}_m$ 仍是完全多余的位移参数, 它可以通过转化为层的广义位移而消去。对上边界柱节线 i 有

$$\begin{Bmatrix} u_i \\ v_i \\ w_i \end{Bmatrix} = \sum_{n=1}^q \begin{bmatrix} \sin \frac{n\pi y_i}{b} & 0 & 0 \\ 0 & \cos \frac{n\pi y_i}{b} & 0 \\ 0 & 0 & \sin \frac{n\pi y_i}{b} \end{bmatrix} \begin{Bmatrix} u_2 \\ v_2 \\ w_2 \end{Bmatrix} \quad (18)$$

对下边界柱节线 j 有

$$\begin{Bmatrix} u_j \\ v_j \\ w_j \end{Bmatrix} = \sum_{n=1}^q \begin{bmatrix} \sin \frac{n\pi y_j}{b} & 0 & 0 \\ 0 & \cos \frac{n\pi y_j}{b} & 0 \\ 0 & 0 & \sin \frac{n\pi y_j}{b} \end{bmatrix} \begin{bmatrix} 1 & 0 & 0 \\ 0 & \cos \alpha & -\sin \alpha \\ 0 & \sin \alpha & \cos \alpha \end{bmatrix} \begin{Bmatrix} u_1 \\ v_1 \\ w_1 \end{Bmatrix}_m \quad (19)$$

其中三角函数矩阵为下边界从柱的 xoy 坐标系变换到下斜层的 \overline{xoy} 坐标系的坐标变换矩阵。记为

$$[\boldsymbol{\lambda}]^T = \begin{bmatrix} 1 & 0 & 0 \\ 0 & \cos \alpha & -\sin \alpha \\ 0 & \sin \alpha & \cos \alpha \end{bmatrix} \quad (20)$$

假设上、下边界各有 b 个剩余自由度, 将它们合并在一起的转换式为

$$\{\boldsymbol{\delta}_1^*\}_m = [\mathbf{R}]\{\boldsymbol{\delta}\}_m \quad (21)$$

其中 $2b \times 6q$ 阶的 $[\mathbf{R}]$ 为柱到层的位移转换矩阵。而

$$\{\boldsymbol{\delta}\}_m^T = \{u_2 \ v_2 \ w_2 \ u_1 \ v_1 \ w_1\}_{mn}^T \quad (22)$$

其中 $\{u_2 \ v_2 \ w_2\}_{mn}^T$ 是最后一个水平层的下边界在 xoy 坐标下的广义位移, 但 $\{u_1 \ v_1 \ w_1\}_{mn}^T$ 却是第一个倾斜层的上边界在 \overline{xoy} 坐标下的广义位移。

在得到位移转换矩阵 $[\mathbf{R}]$ 后, 很容易写出相应的刚度矩阵和荷载列阵的变换。

$$[\mathbf{K}]_{m,k} = [\mathbf{R}]^T [\mathbf{K}^{**}]_{m,k} [\mathbf{R}] \quad (23)$$

$$\{\mathbf{f}\}_m = [\mathbf{R}]^T \{\mathbf{f}_1^{**}\}_m \quad (24)$$

这里的 $[\mathbf{K}]_{m,k}$ 和 $\{\mathbf{f}\}_m$ 就是将三角块也视为一个层单元而得到的单元刚度阵和荷载阵, 可以直接和其它层单元进行叠加。

3.5 应力计算

(1) 层单元

对水平的层单元按通常的作法有

$$\{\sigma\} = \sum \sum [D][B]_{mn} \{\delta^e\}_{mn} \quad (25)$$

对倾斜的层单元,由于解得的位移是相对于坐标系 \overline{xoy} 的,因此事先要转换到整体坐标系 xoy ,这时有

$$\{\sigma\} = \sum \sum [D][B]_{mn} [T]^T \{\delta^e\}_{mn} \quad (26)$$

式中

$$[T] = \begin{bmatrix} \lambda & 0 \\ 0 & \lambda \end{bmatrix} \quad (27)$$

(2)棱柱单元

$$\{\sigma\} = \sum [D][B]_m \{\delta^e\}_m \quad (28)$$

4 算例

在以上研究的基础上,笔者采用 NDP386 - FORTRAN 语言编制了一个用于矿山开采沉陷和应力三维分析的程序,与有限元法相比不仅节约了内存和大量硬盘空间,且计算速度大大提高,使原来无法在微机上进行的三维分析得以在微机上进行。

(1)参考算例

取材料的弹性模量 $E = 500\text{MPa}$,泊松比 $\mu = 0.26$,容重 $\gamma = 27\text{kN/m}^3$ 。自重下地面位移和固定处的应力分别列于表1和表2,计算剖面如图4示。

表1 地面点的沉降值

点	沉降值 $w(\text{mm})$						
	理论解	$p=1$		$p=5$		$p=9$	
		计算值	误差(%)	计算值	误差(%)	计算值	误差(%)
A	221	255	15.4	232.3	5.1	223	0.9
B	221	327	48.0	238.4	7.9	224	1.4

表2 固定点的应力值

应力(MPa)			σ_z			$(\sigma_x, \sigma_y)_{\max}$			τ_{\max}		
			理论值	计算值	误差(%)	理论值	计算值	误差(%)	理论值	计算值	误差(%)
点	C	$p=1$	2.700	3.198	18.4	0.949	1.084	14.2	0	61	-
		$p=5$		2.880	6.6		1.026	8.2		28	-
		$p=9$		2.740	1.5		0.958	0.95		8.2	-
	D	$p=1$	2.700	4.113	52.3	0.949	1.388	46.3	0	85	-
		$p=5$		2.936	8.7		1.052	10.9		37	-
		$p=9$		2.775	2.8		0.967	1.9		9	-

(2)实例

实例由7种不同的材料组成,共划分为12层(见图5),地表两层由属横观各向同性的第一种

材料组成,其弹性常数为: $E_{xy} = 0.30\text{MPa}$, $E_z = 17.00\text{MPa}$, $\mu_{xy} = \mu_z = 0.23$, $\gamma = 27.00\text{kN/m}^3$ 。

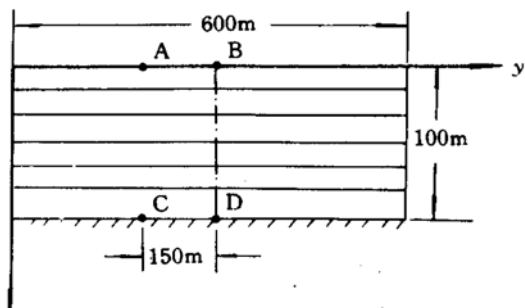


图4 参考算例剖面图

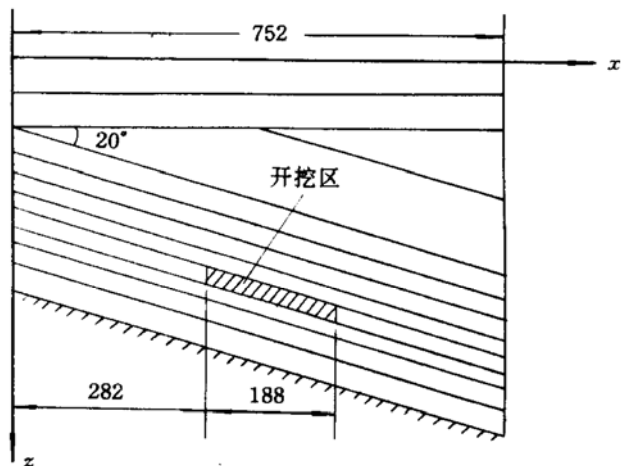


图5 实例纵剖面

自第三层起与水平成 20° 角,其材料类型编号分别为2,3,2,3,4,5,6,7,7,7。材料的弹性常数见表3。各层的厚度见表4。自重下地面沉降的等值线见图6。沿倾斜主断面地面计算下沉曲线与实际观测值比较见图7。开挖区主要点的应力分布见图8。

表3 材料计算参数

计算参数	类型编号					
	2	3	4	5	6	7
$E(\text{MPa})$	320.00	560.00	870.00	890.00	740.00	910.00
μ	0.21	0.20	0.20	0.20	0.19	0.20
$\gamma(\text{kN/m}^3)$	27.00	27.00	27.00	27.00	14.00	27.00

表4 各层厚度

层号	1	2	3	4	5	6	7	8	9	10	11	12
层厚(m)	50	50	-	-	40	30	20	10	10	10	20	30

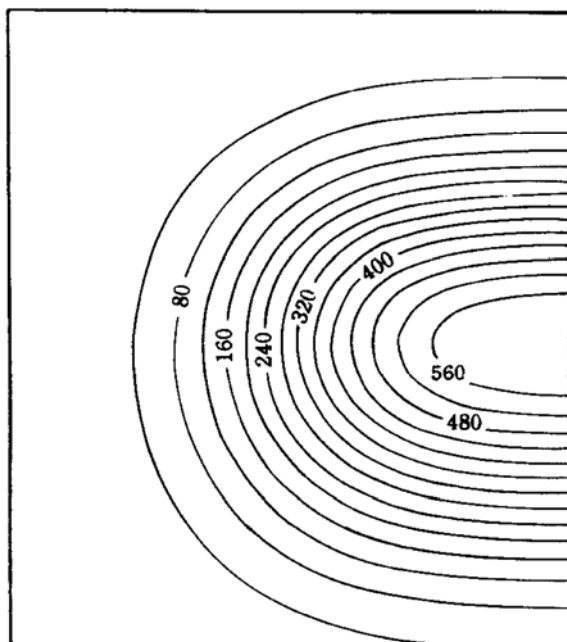


图6 计算地面沉降的等值线

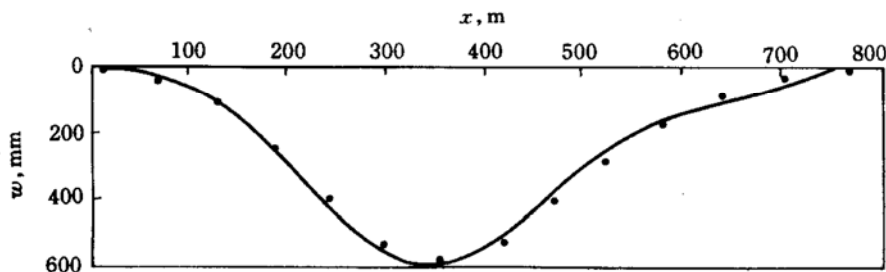


图7 地面沿 x 轴(主剖面)的计算下沉曲线与实测结果比较

从图⑧中可以看出,压应力最大值(28.8MPa)发生在A点,应力集中系数为2.8;在底边界有局部拉应力出现,说明这部分已进入拉应力屈服区。

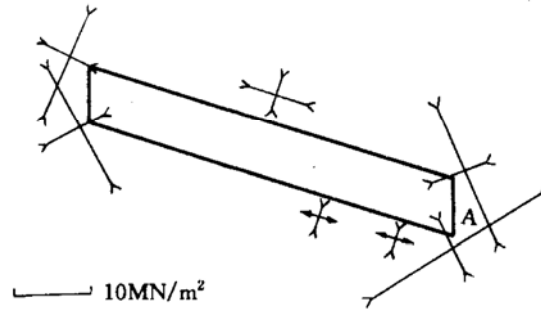


图 8 应力分布

参 考 文 献

- 1 Cheung Y K. 结构分析问题的有限条法, 谢秀松等译. 北京: 人民交通出版社, 1987.
- 2 曹志远编著. 半解析数值方法基础. 上海: 同济大学出版社, 1992.

Stress Analysis for Ground Subsidence Caused by Ore Seam or Coal Seam Mining

Guo Wei-jia Liu Li-min

(Special Coal Mining Research Institute Shandong Institute of Mining and Technology, Taian)

Shi De-fang Cao Zhi-yuan

(Tongji University, Shanghai)

Abstract In this paper, the finite stratiform elements and the triangular prism elements have been alternatively used in the semi-analytic numerical method. The computational method, formulas and result of stress analysis for ground subsidence caused by ore seam mining are presented.

Key words semi-analytical method, ground subsidence, stress analysis, finite stratiform element, triangular prism element.

请 订 阅

力学学报 土木工程学报 水利学报 铁道学报 应用数学和力学
 建筑学报 建筑结构学报 航空学报 振动工程学报 煤炭学报
 岩石力学与工程学报 工程力学 岩石力学 冰川冻土 地球科学
 地震学刊 人民长江 人民黄河 港口工程 水运工程 工程勘察
 地基处理 岩土工程师 水利水电技术 四川建筑 城市勘察
 水文地质与工程地质 水力发电 海洋学报 工业建筑 (待续)